

# Zn<sub>4</sub>Si<sub>2</sub>O<sub>7</sub>(OH)<sub>2</sub>H<sub>2</sub>O 盐修饰的纳米 Ru 催化剂催化苯选择加氢制环己烯

孙海杰<sup>1,2</sup> 周小莉<sup>3</sup> 赵爱娟<sup>2</sup> 王臻臻<sup>2</sup> 刘寿长<sup>1</sup> 刘仲毅<sup>\*1</sup>

(<sup>1</sup> 郑州大学化学与分子工程学院, 郑州 450001)

(<sup>2</sup> 郑州师范学院化学化工学院, 环境与催化工程研究所, 郑州 450044)

(<sup>3</sup> 河南省固体废物管理中心, 郑州 210036)

**摘要:** 利用沉淀法制备了纳米 Ru 催化剂, 在 ZnSO<sub>4</sub> 存在下考察了 Na<sub>2</sub>SiO<sub>3</sub>·9H<sub>2</sub>O 和二乙醇胺作反应修饰剂对 Ru 催化剂催化苯选择加氢制环己烯性能的影响, 并用 X-射线衍射(XRD)、X-射线荧光光谱(XRF)和透射电镜-能量散射谱(TEM-EDS)等物理化学手段对加氢前后 Ru 催化剂进行了表征。结果表明, 在水溶液中 Na<sub>2</sub>SiO<sub>3</sub> 与 ZnSO<sub>4</sub> 可以反应生成 Zn<sub>4</sub>Si<sub>2</sub>O<sub>7</sub>(OH)<sub>2</sub>H<sub>2</sub>O 盐、H<sub>2</sub>SO<sub>4</sub> 和 Na<sub>2</sub>SO<sub>4</sub>, 化学吸附在 Ru 催化剂表面上的 Zn<sub>4</sub>Si<sub>2</sub>O<sub>7</sub>(OH)<sub>2</sub>H<sub>2</sub>O 盐起着提高 Ru 催化剂环己烯选择性的关键作用。Na<sub>2</sub>SiO<sub>3</sub>·9H<sub>2</sub>O 量的增加, 生成的 Zn<sub>4</sub>Si<sub>2</sub>O<sub>7</sub>(OH)<sub>2</sub>H<sub>2</sub>O 盐逐渐增加, Ru 催化剂的活性降低, 环己烯选择性逐渐升高。向反应体系中加入二乙醇胺, 它可以中和 Na<sub>2</sub>SiO<sub>3</sub> 与 ZnSO<sub>4</sub> 反应生成的硫酸, 使化学平衡向生成更多的 Zn<sub>4</sub>Si<sub>2</sub>O<sub>7</sub>(OH)<sub>2</sub>H<sub>2</sub>O 盐的方向移动, 导致 Ru 催化剂环己烯选择性增加。当 Ru 催化剂与 ZnSO<sub>4</sub>·7H<sub>2</sub>O、Na<sub>2</sub>SiO<sub>3</sub>·9H<sub>2</sub>O 和二乙醇胺、分散剂 ZrO<sub>2</sub> 的质量比为 1.0:24.6:0.4:0.2:5.0 时, 2 g Ru 催化剂上苯转化 73% 时环己烯选择性和收率分别为 75% 和 55%, 而且该催化剂体系具有良好的重复使用性和稳定性。

**关键词:** 苯; 选择加氢; 环己烯; 钯; 反应修饰剂

中图分类号: O614.24<sup>1</sup>; O614.82<sup>1</sup>

文献标识码: A

文章编号: 1001-4861(2015)07-1287-09

DOI: 10.11862/CJIC.2015.162

## Selective Hydrogenation of Benzene to Cyclohexene over Nano-Sized Ru Catalyst Modified by Zn<sub>4</sub>Si<sub>2</sub>O<sub>7</sub>(OH)<sub>2</sub>H<sub>2</sub>O Salt

SUN Hai-Jie<sup>1,2</sup> ZHOU Xiao-Li<sup>3</sup> ZHAO Ai-Juan<sup>2</sup> WANG Zhen-Zhen<sup>2</sup> LIU Shou-Chang<sup>1</sup> LIU Zhong-Yi<sup>\*1</sup>

(<sup>1</sup>College of Chemistry and Molecular Engineering, Zhengzhou University, Zhengzhou 450001, China)

(<sup>2</sup>Institute of Environmental and Catalytic Engineering, College of Chemistry and Chemical Engineering, Zhengzhou Normal University, Zhengzhou 450044, China)

(<sup>3</sup>Solid Waste Management Center of Henan, Zhengzhou 210036, China)

**Abstract:** A nano-sized Ru catalyst was prepared using the precipitation method. The performance of the catalyst for selective hydrogenation of benzene to cyclohexene with Na<sub>2</sub>SiO<sub>3</sub>·9H<sub>2</sub>O and diethanolamine as modifiers was investigated in the presence of ZnSO<sub>4</sub>. The catalyst after and before hydrogenation was characterized by X-ray diffraction (XRD), X-ray fluorescence (XRF), and transmission electron microscopy-energy dispersive spectroscopy (TEM-EDS). The results show that Na<sub>2</sub>SiO<sub>3</sub> in the solution could react with ZnSO<sub>4</sub> to form a Zn<sub>4</sub>Si<sub>2</sub>O<sub>7</sub>(OH)<sub>2</sub>H<sub>2</sub>O salt, H<sub>2</sub>SO<sub>4</sub> and Na<sub>2</sub>SO<sub>4</sub>, and the Zn<sub>4</sub>Si<sub>2</sub>O<sub>7</sub>(OH)<sub>2</sub>H<sub>2</sub>O salt chemisorbed on the surface of the Ru catalyst plays a key role in improving the selectivity to cyclohexene of the Ru catalyst. The increased dosage of Na<sub>2</sub>SiO<sub>3</sub>·9H<sub>2</sub>O will result in the increased amount of the formed Zn<sub>4</sub>Si<sub>2</sub>O<sub>7</sub>(OH)<sub>2</sub>H<sub>2</sub>O salt, the decreased activity of the Ru catalyst and the increased selectivity to cyclohexene. The diethanolamine added into the slurry could neutralize the H<sub>2</sub>SO<sub>4</sub> formed by reacting Na<sub>2</sub>SiO<sub>3</sub> with ZnSO<sub>4</sub>. This could shift the chemical equilibrium to the direction of the

收稿日期: 2015-02-07。收修改稿日期: 2015-04-17。

国家自然科学基金(No.21273205, U1304204); 河南省博士后科研项目(No.2013006)资助项目。

\*通讯联系人。E-mail: liuzhongyi@zzu.edu.cn, Tel: (0371)67783384, Fax: (0371)67783384; 会员登记号: S06N7911M1205。

formation of the  $Zn_4Si_2O_7(OH)_2H_2O$  salt, resulting in the increase of the selectivity to cyclohexene of the Ru catalyst. When the mass ratio of the Ru catalyst,  $ZnSO_4 \cdot 7H_2O$ ,  $Na_2SiO_3 \cdot 9H_2O$ , diethanolamine and the dispersant  $ZrO_2$  was at 1.0:24.6:0.4:0.2:5.0, 2 g of the Ru catalyst will give a selectivity to cyclohexene of 75% and a cyclohexene yield of 55% at a benzene conversion of 73%. Moreover, this catalytic system shows a good reusability and an excellent stability.

**Key words:** benzene; selective hydrogenation; cyclohexene; ruthenium; reaction modifier

苯选择加氢制环己烯具有重要的工业应用价值,因为它提供了一条环境友好的生产工程塑料尼龙-6和尼龙-66的路线<sup>[1-5]</sup>。目前,工业主要采用催化空气氧化环己烷的方法来制备工程塑料,该路线成本高、能耗大、工业三废多、且危险性高<sup>[6-7]</sup>,而环己烯路线避免了空气氧化步骤,唯一的副产物环己烷也是重要的化工原料。因此,苯选择加氢制环己烯路线日益受到人们的青睐。

反应修饰剂是提高Ru基催化剂的环己烯选择性主要途径之一。无机盐<sup>[8-9]</sup>、醇类<sup>[10]</sup>和胺类<sup>[11-12]</sup>都可以作苯选择加氢制环己烯Ru基催化剂的反应修饰剂。无机盐中  $ZnSO_4$  作反应修饰剂Ru基催化剂的环己烯选择性和收率最高<sup>[9]</sup>。单独醇类和胺类作反应修饰剂对Ru基催化剂环己烯选择性提高非常有限。然而  $ZnSO_4$  和醇类或胺类作共反应修饰剂可以显著地提高Ru催化剂环己烯选择性和收率。Fan等<sup>[11]</sup>利用  $ZnSO_4$  和乙二胺作共反应修饰剂在Ru-Co-B/ $ZrO_2$  催化剂上获得了35%的环己烯收率。Sun等<sup>[12]</sup>利用  $ZnSO_4$  和二乙醇胺作反应修饰剂在Ru-Zn催化剂上获得了64%的环己烯收率。继而他们又用  $ZnSO_4$  和PEG-10000作反应修饰剂在Ru-Zn催化剂上获得了65%的环己烯收率<sup>[10]</sup>。反应修饰剂的亲水性修饰是Ru基催化剂表现出高环己烯选择性一个重要的原因<sup>[7,13]</sup>。硅酸盐具有丰富的羟基,是进行亲水性修饰的理想材料。然而硅酸盐作Ru基催化剂的反应修饰剂尚未见文献报道。因此,本工作在  $ZnSO_4$  存在下考察了  $Na_2SiO_3$  和二乙醇胺作共修饰剂对Ru催化剂性能的影响,并探讨了它们分别在提高Ru催化剂环己烯选择性中所起的作用。进一步考察了纳米  $ZrO_2$  作分散剂对Ru催化剂苯选择加氢性能的影响和该催化体系的循环使用性能。

## 1 实验部分

### 1.1 实验试剂

水合三氯化钌(AR级)购自昆明贵研铂业股份

有限公司;七水合硫酸锌(AR级)购自天津市福晨化学试剂厂;氢氧化钠(GR级)、苯(AR级)均购自天津市科密欧化学试剂有限公司;九水合硅酸钠(AR级)、二乙醇胺(AR级)均购自国药集团化学试剂有限公司。二氧化锆自制,具体方法见文献<sup>[14]</sup>。

### 1.2 Ru 催化剂制备

Ru催化剂制备按照以下步骤进行。将20.0 g  $RuCl_3 \cdot 3H_2O$ 溶于200 mL蒸馏水中,搅拌下快速加入10wt% NaOH溶液200 mL,于80 °C下搅拌30 min。转移至GS-1型哈氏合金反应釜中,在5.0 MPa  $H_2$ 和800 r·min<sup>-1</sup>搅拌下升温至150 °C,还原5 h后取出,用蒸馏水洗涤至中性,即得Ru催化剂。

### 1.3 催化剂表征

催化剂物相分析在荷兰 PAN Nalytical 公司的 X'Pert PRO 型 X 射线衍射(XRD)仪上进行。Ni 滤光片,  $Cu K\alpha$  射线( $\lambda=0.154$  18 nm), 管电压 40 kV, 管电流 40 mA, 扫描范围 5°~90°, 扫描步长 0.03°。催化剂中各元素含量分析在德国 Bruker 公司的 S4 Pioneer 型 X 射线荧光仪(XRF)上进行。催化剂形貌在日本电子公司的 JEOL JEM 2100 型透射电子显微镜(TEM)上观察。

### 1.4 催化剂评价

催化剂性能评价在山东威海化工机械有限公司生成的 GS-1 型哈氏合金釜中进行。将1.8 g Ru 催化剂, 49.2 g  $ZnSO_4 \cdot 7H_2O$ , 适量的二乙醇胺和  $Na_2SiO_3 \cdot 9H_2O$  和 280 mL 水加入反应釜中。在  $H_2$  压力为 5.0 MPa 和搅拌速率为 800 r·min<sup>-1</sup> 的条件下, 升温至 150 °C 后加入 140 mL 苯, 调节转速至 1 400 r·min<sup>-1</sup> (以消除外扩散), 每隔 5 min 取样。采用杭州科晓 GC-1690 型气相色谱仪分析产物(苯、环己烷和环己烯)组成,FID 检测器, 面积校正归一法计算产物浓度,进而计算苯转化率和环己烯选择性。色谱柱为 AT·SE-30(30 m×0.32 mm×0.25 μm), 柱箱温度为 70 °C, 进样温度和检测器温度均为 210 °C, 柱前压为 0.1 MPa。

## 2 结果与讨论

### 2.1 Na<sub>2</sub>SiO<sub>3</sub>的影响

图1给出了在ZnSO<sub>4</sub>存在下添加不同量Na<sub>2</sub>SiO<sub>3</sub>·9H<sub>2</sub>O加氢后纳米Ru催化剂的XRD图。可以看出,仅在ZnSO<sub>4</sub>存在下,加氢后纳米Ru催化剂上只出现了金属Ru的特征峰(PDF:01-070-0274)。当Na<sub>2</sub>SiO<sub>3</sub>·9H<sub>2</sub>O量为0.8 g时,加氢后Ru催化剂上也出现了金属Ru的特征峰。但当Na<sub>2</sub>SiO<sub>3</sub>·9H<sub>2</sub>O量为1.6 g时,加氢后Ru催化剂上出现了Zn<sub>4</sub>Si<sub>2</sub>O<sub>7</sub>(OH)<sub>2</sub>H<sub>2</sub>O盐的特征峰(PDF:00-005-0555),说明Na<sub>2</sub>SiO<sub>3</sub>与ZnSO<sub>4</sub>在水溶液中反应生成了Zn<sub>4</sub>Si<sub>2</sub>O<sub>7</sub>(OH)<sub>2</sub>H<sub>2</sub>O盐,方程式见式(1)。当Na<sub>2</sub>SiO<sub>3</sub>·9H<sub>2</sub>O量为

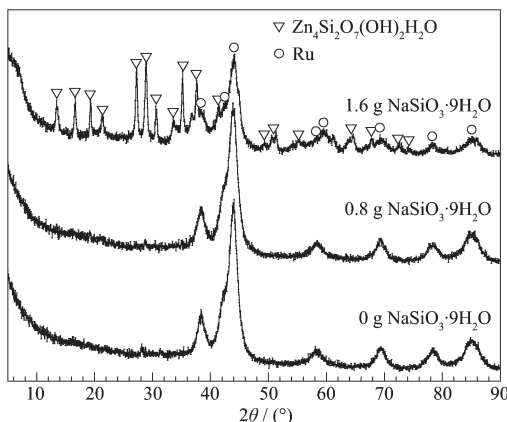


图1 不同量Na<sub>2</sub>SiO<sub>3</sub>·9H<sub>2</sub>O作反应修饰剂加氢后纳米Ru催化剂的XRD图

Fig.1 XRD patterns of Ru catalyst after hydrogenation with the different dosages of Na<sub>2</sub>SiO<sub>3</sub>·9H<sub>2</sub>O as reaction modifiers

0.8 g时,由于生成的Zn<sub>4</sub>Si<sub>2</sub>O<sub>7</sub>(OH)<sub>2</sub>H<sub>2</sub>O盐量少而不能在Ru催化剂成相,加氢后Ru催化剂上并未出现该盐的特征峰。由Scherrer公式计算出加氢后Ru的微晶尺寸,结果见表1。可见,当Na<sub>2</sub>SiO<sub>3</sub>·9H<sub>2</sub>O量为0和0.8 g时,加氢后Ru的粒径都为3.0 nm。当Na<sub>2</sub>SiO<sub>3</sub>·9H<sub>2</sub>O量为1.6 g时,加氢后Ru的粒径为2.6 nm,说明Zn<sub>4</sub>Si<sub>2</sub>O<sub>7</sub>(OH)<sub>2</sub>H<sub>2</sub>O盐对Ru活性组分有一定的分散作用。



表1给出了在ZnSO<sub>4</sub>存在下不同量Na<sub>2</sub>SiO<sub>3</sub>·9H<sub>2</sub>O作反应修饰剂加氢后Ru催化剂的组成。可以看出,Na<sub>2</sub>SiO<sub>3</sub>·9H<sub>2</sub>O量从0增加到1.6 g,Zn/Ru和Si/Ru原子比逐渐增加,与XRD结果Zn<sub>4</sub>Si<sub>2</sub>O<sub>7</sub>(OH)<sub>2</sub>H<sub>2</sub>O盐量逐渐增加一致。

图2(a)和(b)给出了纳米Ru催化剂的TEM照片和粒径分布。可以看出,Ru催化剂为椭圆形或圆形的颗粒,粒径集中分布在3.1 nm左右。图2(c)、(d)和(e)给出了在ZnSO<sub>4</sub>存在下0.8 g Na<sub>2</sub>SiO<sub>3</sub>·9H<sub>2</sub>O作反应修饰剂加氢后Ru催化剂的TEM照片、粒径分布和点1的EDS。可以看出,加氢后Ru的粒径仍集中分布在3.1 nm左右,与XRD计算结果接近。这说明Ru催化剂颗粒未在加氢过程聚结长大。TEM照片还可观察到明显的晶格,间距为0.21 nm,归属于Ru的(101)晶面。从点1的EDS可以看出,加氢后Ru催化剂主要含有Ru、Zn、Si和O等元素(C来自污染碳,Cu来自Cu网)。Zn/Ru原子比为1.71/12.00=0.14,Si/Ru原子比为0.76/12.00=0.06与XRF

表1 在ZnSO<sub>4</sub>存在下不同量Na<sub>2</sub>SiO<sub>3</sub>·9H<sub>2</sub>O和不同量二乙醇胺作反应修饰剂加氢后Ru催化剂的组成及粒径

Table 1 Composition and particle size of the Ru catalyst after hydrogenation with the different amount of diethanolamine and the different dosage of Na<sub>2</sub>SiO<sub>3</sub> as reaction modifiers

Sample	$n_{\text{Zn}} / n_{\text{Ru}}$	$n_{\text{Si}} / n_{\text{Ru}}$	Particle size / nm
0 g Na <sub>2</sub> SiO <sub>3</sub> ·9H <sub>2</sub> O	0.03	0	3.0
0.8 g Na <sub>2</sub> SiO <sub>3</sub> ·9H <sub>2</sub> O	0.14	0.05	3.0
1.6 g Na <sub>2</sub> SiO <sub>3</sub> ·9H <sub>2</sub> O	0.33	0.14	2.6
0.05 g Diethanolamine	0.16	0.06	3.0
0.1 g Diethanolamine	0.21	0.07	3.0
0.2 g Diethanolamine	0.22	0.08	3.0
0.3 g Diethanolamine	0.23	0.09	2.9
0.4 g Diethanolamine	0.25	0.11	2.9
0.5 g Diethanolamine	0.27	0.12	2.8
0.6 g Diethanolamine	0.38	0.13	2.8
0.6 g Diethanolamine+0.28 g H <sub>2</sub> SO <sub>4</sub>	0.15	0.05	—

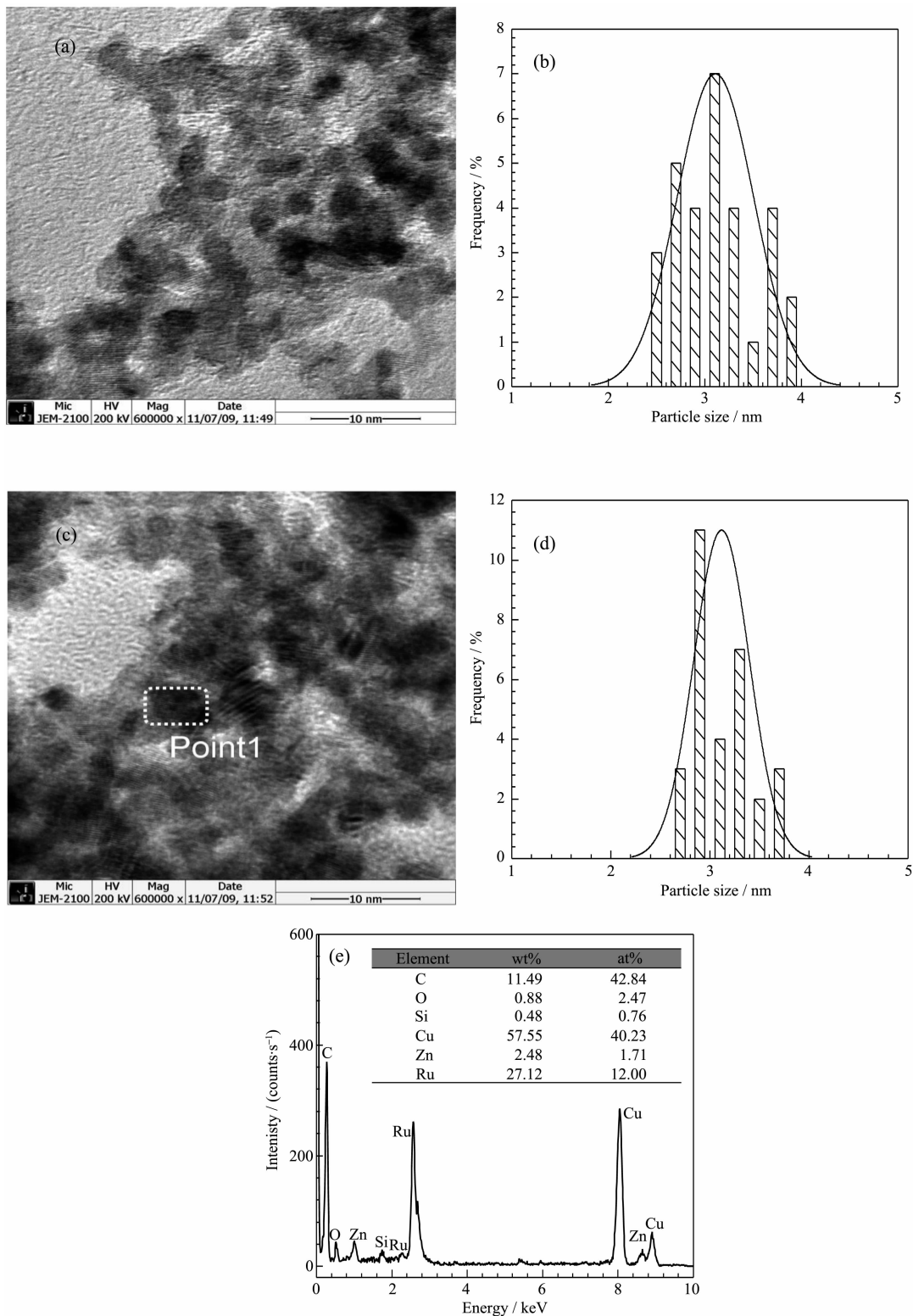
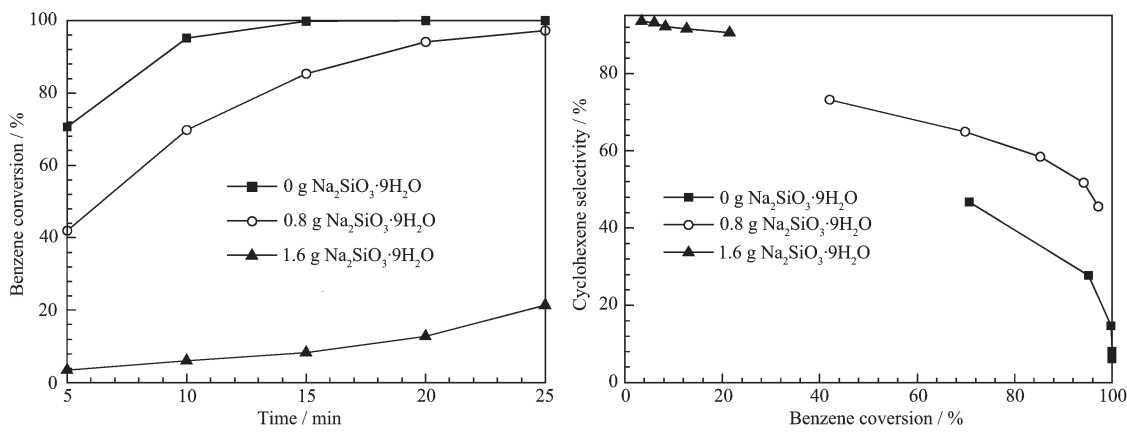


图 2 加氢前(a, b)和加氢后(c, d) Ru 催化剂的 TEM 照片和粒径分布及加氢后 Ru 催化剂点 1 的 EDS

Fig.2 TEM images and particle size distribution of the Ru catalysts before hydrogenation (a, b) and after hydrogenation (c, d) as well as EDS of point 1 of the Ru catalyst after hydrogenation

测得Zn/Ru 和 Si/Ru 原子比一致。这说明了  $Zn_4Si_2O_7 \cdot (OH)_2H_2O$  盐高分散在 Ru 催化剂的表面上。

图 3 给出了在  $ZnSO_4$  存在下不同量  $Na_2SiO_3 \cdot 9H_2O$  作反应修饰剂纳米 Ru 催化剂的苯选择加氢

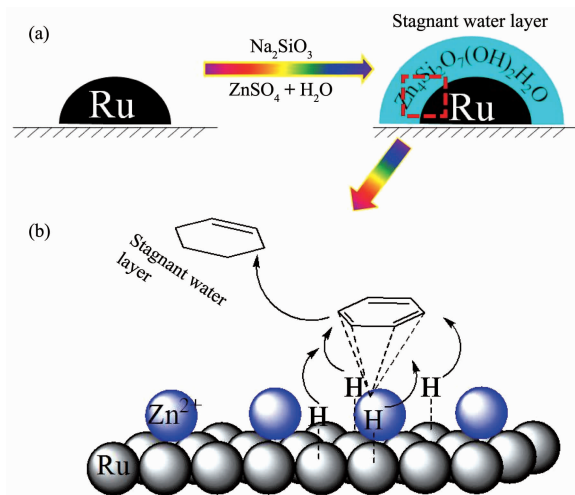
图3 不同量Na<sub>2</sub>SiO<sub>3</sub>·9H<sub>2</sub>O作反应修饰剂Ru催化剂的苯选择加氢性能Fig.3 Performance of the Ru catalyst with the different dosages of Na<sub>2</sub>SiO<sub>3</sub> as reaction modifiers for selective hydrogenation of benzene to cyclohexene

性能。可以看出,仅在ZnSO<sub>4</sub>存在下Ru催化剂上5 min苯就转化了71%,而环己烯选择性仅47%。随Na<sub>2</sub>SiO<sub>3</sub>·9H<sub>2</sub>O量的增加,催化剂活性降低,环己烯选择性升高。而在无ZnSO<sub>4</sub>仅Na<sub>2</sub>SiO<sub>3</sub>存在下5 min苯就完全转化为了环己烷(由于条件不同且只有一个数据点,图3中并未画出),说明Na<sub>2</sub>SiO<sub>3</sub>不能提高Ru催化剂的环己烯选择性。Na<sub>2</sub>SiO<sub>3</sub>和ZnSO<sub>4</sub>协同作用提高Ru催化剂的环己烯选择性。XRD和TEM-EDS结果表明ZnSO<sub>4</sub>与Na<sub>2</sub>SiO<sub>3</sub>反应生成了Zn<sub>4</sub>Si<sub>2</sub>O<sub>7</sub>(OH)<sub>2</sub>H<sub>2</sub>O盐,该盐化学吸附并高分散在Ru催化剂表面,起着提高Ru催化剂环己烯选择性的关键作用,见图4(a)。Zn<sub>4</sub>Si<sub>2</sub>O<sub>7</sub>(OH)<sub>2</sub>H<sub>2</sub>O盐在提高Ru

催化剂环己烯选择性中所起的作用主要有以下两个方面。(1)化学吸附在Ru催化剂表面的Zn<sub>4</sub>Si<sub>2</sub>O<sub>7</sub>(OH)<sub>2</sub>H<sub>2</sub>O盐中的Zn<sup>2+</sup>与Ru催化剂协同作用完成了苯选择加氢制环己烯。Liu等<sup>[15]</sup>认为Zn<sup>2+</sup>等路易斯酸可以活化苯环。基于此,我们认为在Zn<sub>4</sub>Si<sub>2</sub>O<sub>7</sub>(OH)<sub>2</sub>H<sub>2</sub>O盐修饰的Ru表面上,苯优先在Zn<sup>2+</sup>上活化,然后与相邻Ru上解离的H反应生成环己烯,见图4(b)。同时,Liu等<sup>[16]</sup>通过密度泛函理论(DFT)计算发现Zn<sup>2+</sup>还可以与环己烯形成稳定的配合物,稳定生成的环己烯,抑制环己烯进一步加氢生成环己烷。(2)化学吸附在Ru催化剂表面的Zn<sub>4</sub>Si<sub>2</sub>O<sub>7</sub>(OH)<sub>2</sub>H<sub>2</sub>O盐不但含有丰富的结晶水,而且Si-O中的O及羟基都可以通过氢键键合水分子。这使得Ru催化剂表面形成了一层稳定的滞水层。滞水层的存在加速生成的环己烯从催化剂表面脱附,抑制环己烯进一步加氢生成环己烷,见图4(b),因为环己烯在水中的溶解度比苯小得多<sup>[13]</sup>。与此同时,化学吸附在Ru催化剂表面的Zn<sub>4</sub>Si<sub>2</sub>O<sub>7</sub>(OH)<sub>2</sub>H<sub>2</sub>O盐阻碍了苯和H<sub>2</sub>在Ru催化剂表面的吸附。因此,随生成的Zn<sub>4</sub>Si<sub>2</sub>O<sub>7</sub>(OH)<sub>2</sub>H<sub>2</sub>O盐量的增加,Ru催化剂的环己烯选择性逐渐升高,活性降低。我们在前期的研究中发现(Zn(OH)<sub>2</sub>)<sub>2</sub>(ZnSO<sub>4</sub>)(H<sub>2</sub>O)<sub>x</sub>(x=1,3和5等)盐同样可以提高Ru催化剂的环己烯选择性<sup>[17-18]</sup>。

## 2.2 二乙醇胺的影响

图5给出了在0.6 mol·L<sup>-1</sup> ZnSO<sub>4</sub>下添加0.8 g Na<sub>2</sub>SiO<sub>3</sub>·9H<sub>2</sub>O和不同量二乙醇胺作反应修饰剂加氢后Ru催化剂的XRD图。可以看出,当二乙醇胺的量低于0.5 g时,加氢后Ru催化剂都只出现了金属Ru的特征峰。从二乙醇胺量增加到0.5 g开始,

图4 Zn<sub>4</sub>Si<sub>2</sub>O<sub>7</sub>(OH)<sub>2</sub>H<sub>2</sub>O修饰的Ru催化剂结构及其催化苯选择加氢制环己烯示意图Fig.4 Scheme for the structure (a) and catalytic selective hydrogenation of benzene to cyclohexene (b) of the Ru catalyst modified by Zn<sub>4</sub>Si<sub>2</sub>O<sub>7</sub>(OH)<sub>2</sub>H<sub>2</sub>O

加氢后 Ru 催化剂开始出现  $Zn_4Si_2O_7(OH)_2H_2O$  盐的特征峰。随二乙醇胺量增加, 该盐衍射峰的强度逐渐增加, 说明生成该盐的量逐渐增加。这说明添加的二乙醇胺和反应式(1)生成的  $H_2SO_4$  发生了中和反应(见式(2)), 使反应式(1)右向进行, 即反应浆液中剩余的  $Na_2SiO_3$  继续与  $ZnSO_4$  反应生成了  $Zn_4Si_2O_7(OH)_2H_2O$  盐。当二乙醇胺量逐渐增加, 生成的  $Zn_4Si_2O_7(OH)_2H_2O$  盐逐渐增加, 衍射峰的强度增加。当二乙醇胺的量低于 0.5 g 时, 生成该盐的量少, 该盐在 Ru 催化剂上高分散而很难成相, Ru 催化剂上并未发现它的衍射峰。表 1 给出了由 Scherrer 公式计算出不同量二乙醇胺作反应修饰剂加氢后 Ru 催化剂的粒径。可见, 随二乙醇胺量的增加, Ru 催化剂的粒径有减小的趋势, 再次说明生成的  $Zn_4Si_2O_7(OH)_2H_2O$  盐对 Ru 微晶有一定的分散作用。

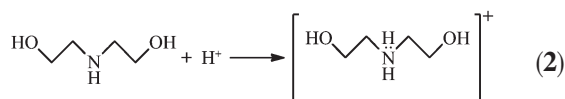


表 1 给出了在  $ZnSO_4$  存在下添加 0.8 g  $Na_2SiO_3 \cdot 9H_2O$  和不同量二乙醇胺作反应修饰剂加氢后 Ru 催化剂的组成。可以看出, 随二乙醇胺量增加, 加氢后 Ru 催化剂的 Zn/Ru 和 Si/Ru 原子比逐渐增加, 与 XRD 结果  $Zn_4Si_2O_7(OH)_2H_2O$  盐量增加一致。

图 6 给出了在  $ZnSO_4$  存在下不同量  $Na_2SiO_3 \cdot 9H_2O$  和不同量二乙醇胺作反应修饰剂 Ru 催化剂的苯选择加氢制环己烯性能。可以看出, 当二乙醇胺量从 0 g 增加到 0.3 g, 催化剂活性逐渐降低, 环己烯选择性逐渐升高。XRD 和 XRF 结果表明随二乙醇胺量的增加, 生成的  $Zn_4Si_2O_7(OH)_2H_2O$  盐逐渐

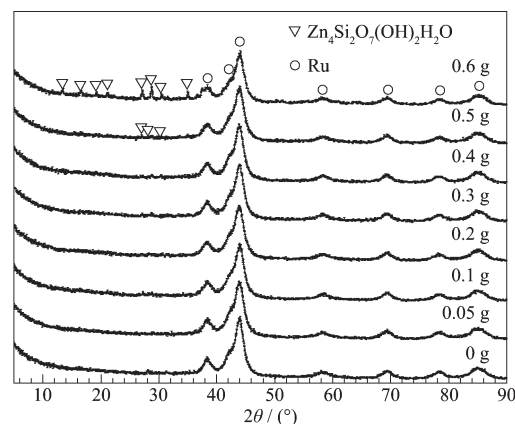


图 5 不同量二乙醇胺作反应修饰剂加氢后 Ru 催化剂的 XRD 图

Fig.5 XRD patterns of the Ru catalyst with the different amounts of diethanolamine as reaction modifiers after hydrogenation

增加, 导致了催化剂活性降低, 环己烯选择性升高。当二乙醇胺量为 0.4 g 时, Ru 催化剂的环己烯选择性急剧升高, 在 25 min 苯转化 54% 时环己烯选择性 81%。XRD 结果表明化学吸附的  $Zn_4Si_2O_7(OH)_2H_2O$  盐在 Ru 催化剂表面接近单层分散, 由于阈值效应此时 Ru 催化剂性能最佳<sup>[19-20]</sup>。继续增加二乙醇胺用量, 化学吸附的  $Zn_4Si_2O_7(OH)_2H_2O$  盐在 Ru 催化剂聚结成相。虽然  $Zn_4Si_2O_7(OH)_2H_2O$  盐中  $Zn^{2+}$  可以活化苯环, 但化学吸附在 Ru 催化剂表面上的大量的  $Zn_4Si_2O_7(OH)_2H_2O$  盐阻碍了苯和  $H_2$  在 Ru 活性位上的吸附与活化。因此, Ru 催化剂活性逐渐降低, 而环己烯选择性不变或略有升高。文献<sup>[21]</sup>报道式(2)生成的二乙醇胺盐中羟基可以和环己烯形成氢键, 稳定环己烯, 抑制环己烯加氢生成环己烷。为进一步

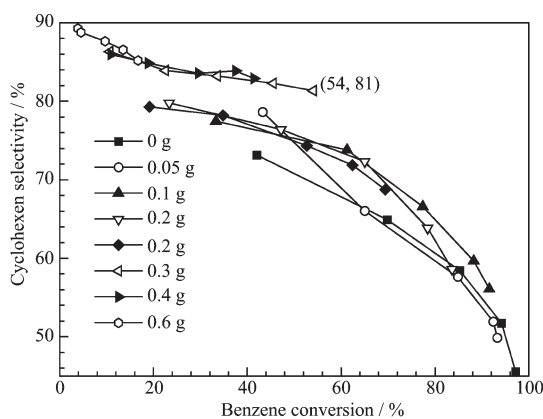
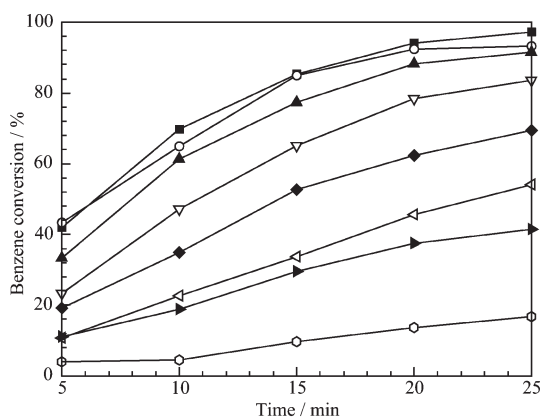
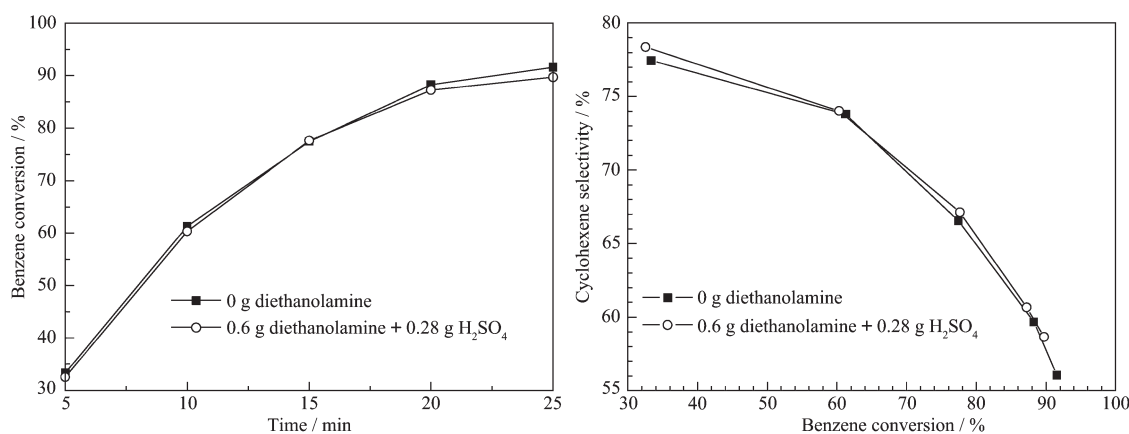


图 6 不同量二乙醇胺作反应修饰剂 Ru 催化剂的苯选择加氢制环己烯性能

Fig.6 Performance of the Ru catalysts with the different amounts of diethanolamine as reaction modifiers for selective hydrogenation of benzene to cyclohexene

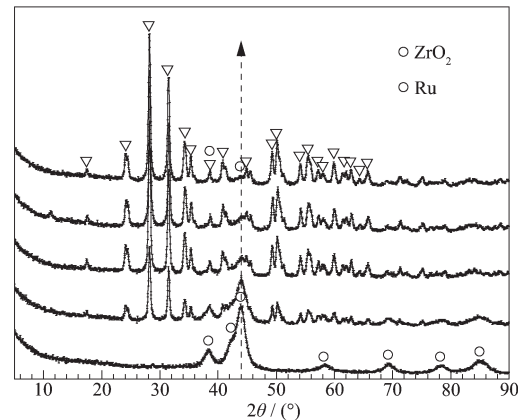
图 7 同时向反应体系加入二乙醇胺和 H<sub>2</sub>SO<sub>4</sub> 对 Ru 催化剂苯选加氢制环己烯性能的影响Fig.7 Effect of the simultaneous addition of diethanolamine and H<sub>2</sub>SO<sub>4</sub> on the performance of Ru catalysts on selective hydrogenation of benzene to cyclohexene

考察氢键对 Ru 催化剂性能的影响, 我们同时向反应体系中加入了 0.6 g 二乙醇胺及可以完全中和其碱性的 0.28 g H<sub>2</sub>SO<sub>4</sub>, 其它同催化剂评价, 加氢结果见图 7, 加氢后 Ru 催化剂的组成见表 1。从表 1 可以看出, 同时加二乙醇胺和 H<sub>2</sub>SO<sub>4</sub> 加氢后 Ru 催化剂的组成与不加二乙醇胺的几乎相同, 说明二乙醇胺与加入的 H<sub>2</sub>SO<sub>4</sub> 完全发生了中和反应生成了二乙醇胺盐(如反应式(2)), 不生成 Zn<sub>4</sub>Si<sub>2</sub>O<sub>7</sub>(OH)<sub>2</sub>H<sub>2</sub>O 盐。从图 7 可以看出, 同时加二乙醇胺和 H<sub>2</sub>SO<sub>4</sub>, Ru 催化剂的苯转化率和环己烯选择性与不加二乙醇胺的接近, 说明二乙醇胺盐与环己烯形成的氢键对环己烯的稳定效应很弱。这再次说明化学吸附的 Zn<sub>4</sub>Si<sub>2</sub>O<sub>7</sub>(OH)<sub>2</sub>H<sub>2</sub>O 盐在提高 Ru 催化剂环己烯选择性中起着关键作用。

### 2.3 ZrO<sub>2</sub> 的影响

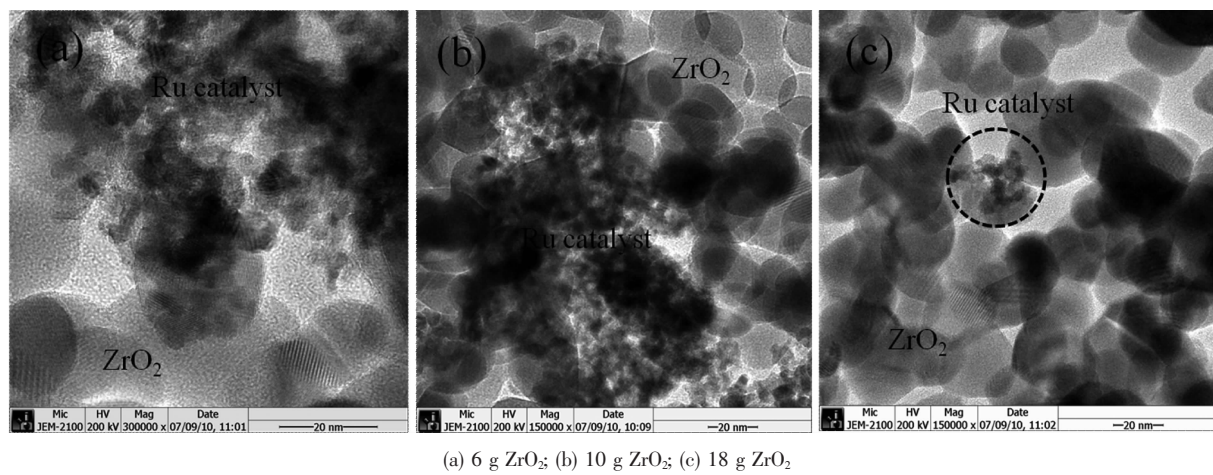
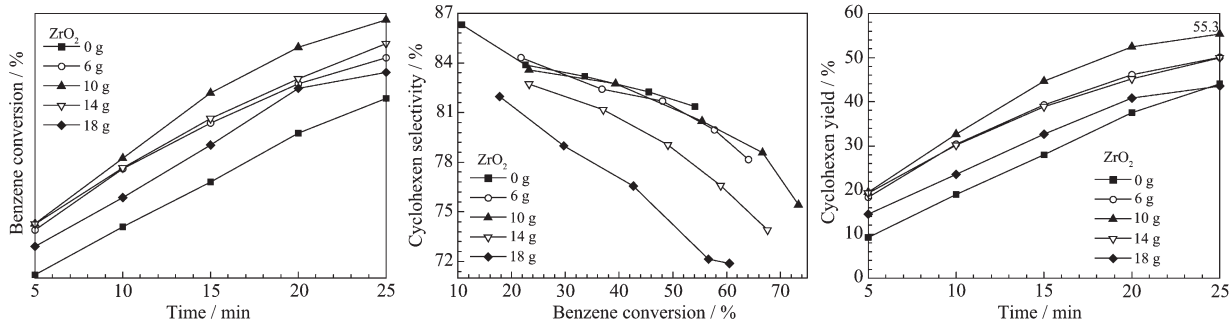
图 8 给出了在 ZnSO<sub>4</sub> 存在下 0.8 g Na<sub>2</sub>SiO<sub>3</sub>·9H<sub>2</sub>O 和 0.4 g 二乙醇胺作反应修饰剂不同量 ZrO<sub>2</sub> 作分散剂加氢后 Ru 催化剂的 XRD 图。可以看出, 加入 ZrO<sub>2</sub> 后 Ru 催化剂在  $2\theta=38.4^\circ$  和  $43.8^\circ$  处出现了金属 Ru 的特征峰, 其余都归属于单斜相 ZrO<sub>2</sub> 的特征峰(PDF:00-024-1165)。随加入 ZrO<sub>2</sub> 量的增加,  $2\theta=43.8^\circ$  的 Ru 的衍射峰强度逐渐减弱, 说明 ZrO<sub>2</sub> 量越多, Ru 催化剂颗粒越分散, 成相越弱。

图 9 给出了在 ZnSO<sub>4</sub> 存在下 0.8 g Na<sub>2</sub>SiO<sub>3</sub>·9H<sub>2</sub>O 和 0.4 g 二乙醇胺作反应修饰剂不同量 ZrO<sub>2</sub> 作分散剂加氢后 Ru 催化剂的 TEM 照片。图 9(a) ZrO<sub>2</sub> 量为 6 g, EDS 结果表明图中粒径大约 20 nm 浅灰色圆形或椭圆形的物质为 ZrO<sub>2</sub>, 粒径大约 3 nm 深黑色的粉末为 Ru 催化剂。6 g ZrO<sub>2</sub> 不能有效分散

图 8 不同量 ZrO<sub>2</sub> 作分散剂加氢后纳米 Ru 催化剂的 XRD 图Fig.8 XRD patterns of nano-Ru catalyst after hydrogention with different dosages of ZrO<sub>2</sub> as the dispersant

Ru 催化剂, Ru 催化剂聚集仍然很厉害。图 9(b) ZrO<sub>2</sub> 量为 10 g, 深黑色的 Ru 催化剂很薄地分散在 ZrO<sub>2</sub> 分散剂上, 说明 10 g ZrO<sub>2</sub> 可以有效将 Ru 催化剂分散开了。图 9(c) ZrO<sub>2</sub> 量为 18 g, EDS 结果表明虚线圆内浅黑色的物质为 Ru 催化剂, 圆外都是 ZrO<sub>2</sub>, 说明 Ru 催化剂不但被 ZrO<sub>2</sub> 有效分散, 而且被大量的 ZrO<sub>2</sub> 所包围。

图 10 给出了在 ZnSO<sub>4</sub> 存在下 0.8 g Na<sub>2</sub>SiO<sub>3</sub>·9H<sub>2</sub>O 和 0.4 g 二乙醇胺作反应修饰剂不同量 ZrO<sub>2</sub> 作分散剂对 Ru 催化剂的苯选择加氢制环己烯性能的影响。可以看出, ZrO<sub>2</sub> 量从 0 增加到 10 g, 催化剂活性逐渐增加, 环己烯选择性几乎不变, 环己烯收率逐渐增加。XRD 和 TEM 结果表明 ZrO<sub>2</sub> 量从 0 增加到 10 g, Ru 催化剂的分散度逐渐增加, 活性位逐

图9 不同量 $\text{ZrO}_2$ 作分散剂加氢后Ru催化剂的TEM照片Fig.9 TEM images of Ru catalysts after hydrogenation with different dosages of  $\text{ZrO}_2$  as the dispersant图10 不同量 $\text{ZrO}_2$ 作分散剂Ru催化剂的苯选择加氢性能Fig.10 Performance of the Ru catalyst with different amount of  $\text{ZrO}_2$  as the dispersant for selective hydrogenation of benzene to cyclohexene

渐增加,活性逐渐增加。 $\text{ZrO}_2$ 量为10 g时,Ru催化剂上25 min苯转化率为73%,环己烯选择性和收率为75%和55%,超过了目前工业催化剂的水平:苯转化40%时环己烯选择性80%<sup>[22]</sup>。继续增加 $\text{ZrO}_2$ 用量,催化剂活性逐渐降低,环己烯选择性也逐渐降低。TEM结果表明 $\text{ZrO}_2$ 量为18 g时被分散的Ru催化剂被大量的 $\text{ZrO}_2$ 所包围。这不但阻碍了反应物苯在Ru催化剂上的吸附,而且也阻碍了Ru催化剂表面生成环己烯的逸出,环己烯很容易继续加氢生成环己烷,导致Ru催化剂活性和环己烯选择性的降低。

#### 2.4 催化剂循环使用性能

图11给出了在 $\text{ZnSO}_4$ 存在下0.8 g  $\text{Na}_2\text{SiO}_3 \cdot 9\text{H}_2\text{O}$ 和0.4 g二乙醇胺作反应修饰剂及10 g  $\text{ZrO}_2$ 作分散剂时Ru催化剂的循环使用性能。可以看出,在循环使用中不补加任何物质的情况下,6次循环使用过程中Ru催化剂的苯转化率稳定在71%以上,环己烯选择性和收率分别稳定在74%和55%以

上,说明在催化体系中Ru催化剂具有良好重复使用性和稳定性,具有良好的工业应用前景。这主要归结于以下两方面的原因:(1) $\text{ZrO}_2$ 的分散作用。 $\text{ZrO}_2$ 将Ru催化剂均匀分散开,有效抑制了Ru催化剂聚结长大而失活。(2)化学吸附在Ru催化剂表面的 $\text{Zn}_4\text{Si}_2\text{O}_7(\text{OH})_2\text{H}_2\text{O}$ 盐也可以抑制Ru催化剂聚

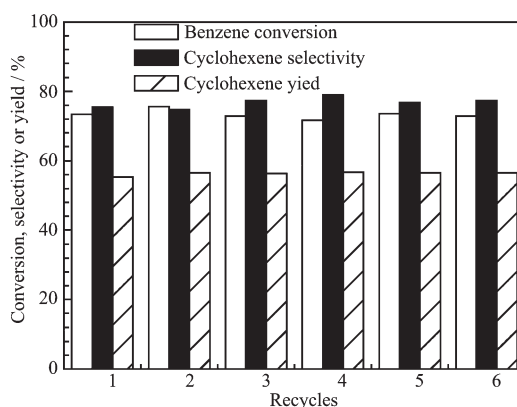


图11 Ru催化剂的循环使用性能

Fig.11 Reusability of the Ru catalyst

结长大。

### 3 结 论

在水溶液中Na<sub>2</sub>SiO<sub>3</sub>与ZnSO<sub>4</sub>可以反应生成Zn<sub>4</sub>Si<sub>2</sub>O<sub>7</sub>(OH)<sub>2</sub>H<sub>2</sub>O盐,化学吸附在Ru催化剂表面上的Zn<sub>4</sub>Si<sub>2</sub>O<sub>7</sub>(OH)<sub>2</sub>H<sub>2</sub>O盐可以提高Ru催化剂环己烯选择性。适量的ZrO<sub>2</sub>可以将团聚的Ru催化剂分散,提高Ru催化剂的活性。在ZnSO<sub>4</sub>溶液中,利用Na<sub>2</sub>SiO<sub>3</sub>·9H<sub>2</sub>O和二乙醇胺作反应修饰剂及ZrO<sub>2</sub>作分散剂,Ru催化剂不仅表现出了高活性和高环己烯选择性,而且表现出了良好重复使用性和稳定性。

### 参考文献:

- [1] Liao H G, Ouyang D H, Zhang J, et al. *Chem. Eng. J.*, **2014**, *243*:207-216
- [2] Sun H J, Dong Y Y, Li S H, et al. *J. Mol. Catal. A: Chem.*, **2013**, *368-369*:119-124
- [3] Ning J B, Xu J, Liu J, et al. *Catal. Lett.*, **2006**, *109*:175-180
- [4] ZHANG Ye(张晔), FU Hai-Yan(付海燕), LI Rui-Xiang(李瑞祥), et al. *Chinese J. Inorg. Chem.*(无机化学学报), **2013**, *29*:577-582
- [5] WEI Jun-Fang(魏珺芳), WANG Yan-Ji(王延吉), LI Juan(励娟), et al. *Chinese J. Inorg. Chem.*(无机化学学报), **2011**, *27*:850-854
- [6] LU Fang(路芳), LIU Jing(刘菁), XU Jie(徐杰). *Prog. Chem.*(化学进展), **2003**, *15*:338-343
- [7] SUN Hai-Jie(孙海杰), GUO Wei(郭伟), ZHOU Xiao-Li(周小莉), et al. *Chinese J. Catal.*(催化学报), **2011**, *32*:1-16
- [8] Struijk J, Moene R, Kamp T V D, et al. *Appl. Catal. A: Gen.*, **1992**, *89*:77-102
- [9] SUN Hai-Jie(孙海杰), LI Shuai-Hui(李帅辉), TIAN Xiang-Yu(田翔宇), et al. *J. Mol. Catal.(China)*(分子催化), **2013**, *27*:362-370
- [10] Sun H J, Jiang H B, Li S H, et al. *Chem. Eng. J.*, **2013**, *218*:415-424
- [11] Fan G Y, Li R X, Li X J, et al. *Catal. Commun.*, **2008**, *9*:1394-1397
- [12] SUN Hai-Jie(孙海杰), PAN Ya-Jie(潘雅洁), WANG Hong-Xia(王红霞), et al. *Chinese J. Catal.*(催化学报), **2012**, *33*:610-620
- [13] Struijk J, d'Angremond M, Regt W J M L, et al. *Appl. Catal. A: Gen.*, **1992**, *83*:263-295
- [14] LIU Zhong-Yi(刘仲毅), SUN Hai-Jie(孙海杰), WANG Dong-Bin(王栋斌), et al. *Chinese J. Catal.*(催化学报), **2010**, *31*:150-152
- [15] Liu H Z, Jiang T, Han B X, et al. *Science*, **2009**, *326*:1250-1252
- [16] Liu J L, Zhu Y, Liu J, et al. *J. Catal.*, **2009**, *268*:100-105
- [17] Sun H J, Pan Y J, Jiang H B, et al. *Appl. Catal. A: Gen.*, **2013**, *464*:465:1-9
- [18] Sun H J, Wang H X, Jiang H B, et al. *Appl. Catal. A: Gen.*, **2013**, *450*:160-168
- [19] WANG Chun-Ming(王春明), ZHAO Bi-Ying(赵璧英), XIE You-Chang(谢有畅). *Chinese J. Catal.*(催化学报), **2003**, *24*:475-482
- [20] WANG Song-Rui(王松蕊), ZHU Yue-Xiang(朱月香), XIE You-Chang(谢有畅), et al. *Chinese J. Catal.*(催化学报), **2007**, *28*:676-680
- [21] Struijk J, Scholten J J F. *Appl. Catal. A: Gen.*, **1992**, *82*:277-287
- [22] WU Ji-Min(吴济民), YANG Yan-Feng(杨炎锋), CHEN Ju-Liang(陈聚良). *Chem. Ind. Eng. Prog.*(化工进展), **2003**, *22*:295-297